

## Apêndice D

# Propriedades Geométricas de Seções Transversais

### D.1 Momento Estático

Considere uma superfície plana de área  $A$  e dois eixos ortogonais  $x$  e  $y$  de seu plano mostrados na Figura D.1. Seja  $dA$  um elemento diferencial de área da superfície, o qual está genericamente posicionado com relação ao sistema de referência adotado.

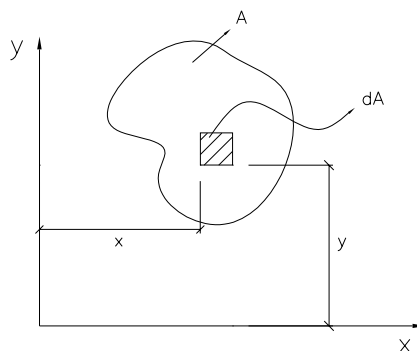


Figura D.1: Elemento de área  $dA$  numa área plana  $A$ .

Define-se o momento estático de um elemento de área  $dA$  com relação aos eixos  $x$  e  $y$ , respectivamente, como

$$dM_{s_x} = ydA, \quad (\text{D.1})$$

$$dM_{s_y} = xdA. \quad (\text{D.2})$$

Por sua vez, o momento estático ou momento de primeira ordem da área  $A$  com relação aos eixos  $x$  e  $y$  são obtidos somando-se a contribuição dos momentos estáticos de cada elemento diferencial  $dA$  da seção. Logo, os momentos estáticos são dados pelas seguintes integrais

$$M_{s_x} = \int_A ydA, \quad (\text{D.3})$$

$$M_{s_y} = \int_A xdA. \quad (\text{D.4})$$

Supondo que as dimensões da seção estejam indicadas em  $cm$ , a unidade dos momentos estáticos  $M_{s_x}$  e  $M_{s_y}$  são  $cm^3$ .

**Exemplo D.1** Determinar os momentos estáticos  $M_{s_x}$  e  $M_{s_y}$  para a superfície ilustrada na Figura D.2(a).

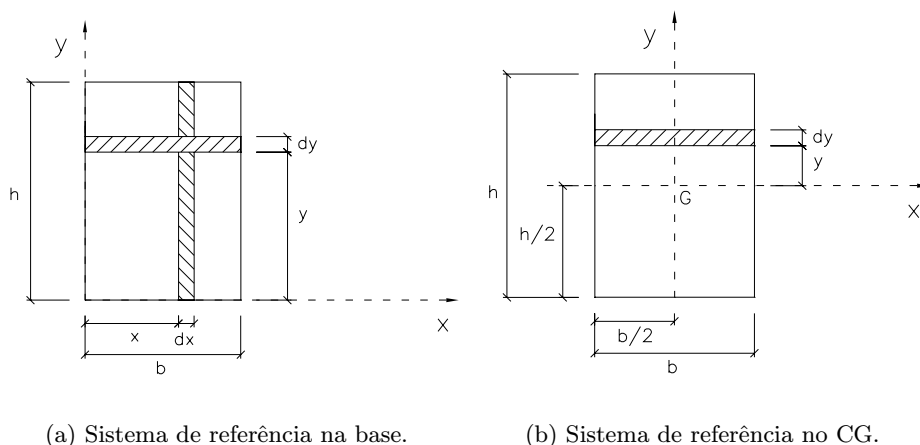


Figura D.2: Elementos de área numa seção retangular.

Inicialmente, calcula-se o momento estático em relação ao eixo  $x$ . Para isso, utiliza-se (D.1) com o elemento de área  $dA = bdy$  ilustrado na Figura D.2(a). A partir da expressão (D.1) vem que

$$M_{s_x} = \int_A y dA = b \int_0^h y dy = \frac{b}{2} y^2 \Big|_0^h = \frac{bh^2}{2}. \quad (D.5)$$

O momento estático  $M_{s_y}$  é obtido empregando (D.2) com o elemento de área  $dA = bdx$ . Logo

$$M_{s_y} = \int_A x dA = h \int_0^b x dx = \frac{h}{2} x^2 \Big|_0^b = \frac{hb^2}{2}. \quad (D.6)$$

□

**Exemplo D.2** Determinar os momentos estáticos  $M_{s_x}$  e  $M_{s_y}$  do retângulo da Figura D.2(b) em relação aos eixos  $x$  e  $y$  que passam ao longo do centro de gravidade da seção.

O procedimento é análogo ao do exemplo anterior devendo-se mudar apenas os limites de integração. Portanto

$$M_{s_x} = \int_A y dA = b \int_{-h/2}^{h/2} y dy = \frac{b}{2} y^2 \Big|_{-h/2}^{h/2} = \frac{b}{2} \left[ \left( \frac{h}{2} \right)^2 - \left( -\frac{h}{2} \right)^2 \right] = 0, \quad (D.7)$$

$$M_{s_y} = \int_A x dA = h \int_{-b/2}^{b/2} x dx = \frac{h}{2} x^2 \Big|_{-b/2}^{b/2} = \frac{h}{2} \left[ \left( \frac{b}{2} \right)^2 - \left( -\frac{b}{2} \right)^2 \right] = 0. \quad (D.8)$$

Assim, os momentos estáticos em relação aos eixos que passam pelo centro de gravidade são nulos.

□

## D.2 Centro de Gravidade

O centro de gravidade de uma superfície plana de área  $A$  ilustrada na Figura D.2 é definido como sendo o ponto  $CG$  de coordenadas  $x_G$  e  $y_G$  dadas por

$$x_G = \frac{M_{s_y}}{A}, \quad (D.9)$$

$$y_G = \frac{M_{s_x}}{A}, \quad (D.10)$$

sendo  $M_{s_x}$  e  $M_{s_y}$  os momentos estáticos da superfície com relação aos eixos  $x$  e  $y$ , respectivamente, e  $A$  é a área da seção transversal.

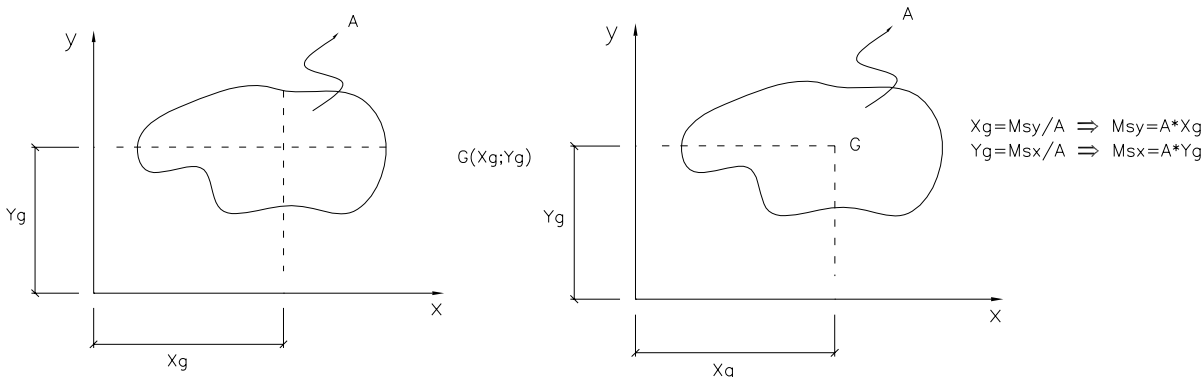


Figura D.3: Centro de gravidade de uma área plana.

Dada uma superfície plana de área  $A$ , adota-se o seguinte procedimento para determinar o seu centro de gravidade:

1. Escolhe-se um sistema de referência conveniente para o cálculo do CG. Por exemplo, se a superfície é simétrica, deve-se colocar o sistema de referência ao longo da simetria.
2. Calculam-se os momentos estáticos  $M_{s_x} = \int_A y dA$  e  $M_{s_y} = \int_A x dA$ .
3. Determinam-se as coordenadas do centro de gravidade  $x_G = \frac{M_{s_y}}{A}$  e  $y_G = \frac{M_{s_x}}{A}$ .

**Exemplo D.3** Determinar o centro de gravidade da superfície da Figura D.2(a).

Neste caso, os dois primeiros passos do procedimento anterior já foram efetuados no exemplo D.1. Adotou-se o sistema de coordenadas  $xy$  conforme ilustrado na Figura D.2(a) e calcularam-se os momentos estáticos  $M_{s_x}$  e  $M_{s_y}$ . Lembrando que a área do retângulo é  $A = bh$ , basta agora empregar as equações (D.9) e (D.10) para obter as coordenadas  $(x_G, y_G)$  do centro de gravidade. Logo,

$$x_G = \frac{M_{s_y}}{A} = \frac{hb^2}{2bh} = \frac{b}{2},$$

$$y_G = \frac{M_{s_x}}{A} = \frac{bh^2}{2bh} = \frac{h}{2}.$$

□

Pode-se calcular os momentos estáticos  $M_{s_x}$  e  $M_{s_y}$  a partir da definição do centro de gravidade dada em (D.9) e (D.10) conforme ilustrado na Figura D.2. Para isso, considere uma superfície plana de área  $A$  e dois eixos ortogonais  $x$  e  $y$  de seu plano. Supondo que se conheça previamente a posição do seu centro de gravidade, calculam-se  $M_{s_x}$  e  $M_{s_y}$  a partir de (D.9) e (D.10) como

$$M_{s_y} = Ax_G, \quad (D.11)$$

$$M_{s_x} = Ay_G. \quad (D.12)$$

Logo, a seguinte definição é válida: o momento estático de uma superfície de área  $A$  com relação a um eixo qualquer de seu plano é igual ao produto da área  $A$  da superfície pela distância do seu centro de

gravidade ao eixo de interesse. Por exemplo, tomando-se o retângulo da Figura D.4, os momentos estáticos  $M_{s_x}$  e  $M_{s_y}$  são dados pelo produto da área  $A = bh$  do retângulo, respectivamente, pelas distâncias  $c + \frac{h}{2}$  e  $a + \frac{h}{2}$  do centro de gravidade do retângulo aos eixos  $x$  e  $y$ , ou seja,

$$M_{s_x} = bh\left[c + \frac{h}{2}\right],$$

$$M_{s_y} = bh\left[a + \frac{h}{2}\right].$$

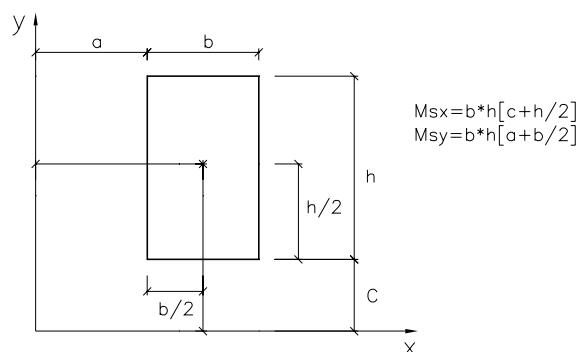


Figura D.4: Cálculo do momento estático a partir da definição do centro de gravidade.

Uma propriedade do momento estático é a seguinte: *o momento estático de uma superfície com relação a um eixo que passa pelo seu centro de gravidade é zero, e inversamente se o momento estático de uma superfície com relação a um eixo é zero, este eixo passa pelo seu centro de gravidade.* Esta propriedade está ilustrada na Figura D.5 para as duas superfícies. Para a área da Figura D.5(a), o eixo  $r$  passa pelo CG e o momento estático em relação a  $r$  será nulo, ou seja,

$$M_{s_r} = A(0) = 0.$$

No caso da superfície da Figura D.5(b), os momentos estáticos em relação aos eixos  $r$  e  $t$  serão dados pelo produto da área  $A$  pelas respectivas distâncias  $d_r$  e  $d_t$  do CG da área aos eixos  $r$  e  $t$ . Portanto,

$$M_{s_r} = Ad_r,$$

$$M_{s_t} = Ad_t.$$

Por sua vez, como o eixo  $u$  passa pelo CG da seção, o momento estático em relação a este eixo é nulo, isto é,  $M_{s_u} = 0$ .

**Exemplo D.4** Determinar o centro de gravidade para o perfil  $T$  ilustrado na Figura D.6. Neste caso, considera-se o perfil  $T$  como constituído dos retângulos 1 e 2 mostrados na Figura D.6.

O sistema de coordenadas é colocado de tal forma que o eixo  $y$  seja um eixo de simetria da seção. Logo, a coordenada  $x_G$  do centro de gravidade é nula, ou seja,

$$x_G = \frac{M_{s_y}}{A} = \frac{0}{A} = 0.$$

Assim, o CG sempre estará ao longo de um eixo de simetria.

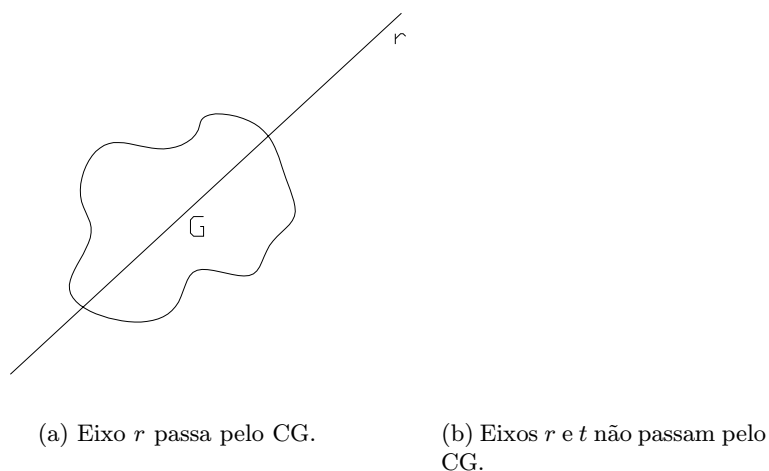


Figura D.5: Centro de gravidade de uma área plana.

Para o cálculo de  $y_G$ , emprega-se (D.12). Observa-se que a área  $A$  e o momento estático  $M_{s_x}$  da seção são dados pela soma das áreas e momentos estáticos dos dois retângulos. Portanto,

$$A = A_1 + A_2,$$

$$M_{s_x} = (M_{s_x})_1 + (M_{s_x})_2$$

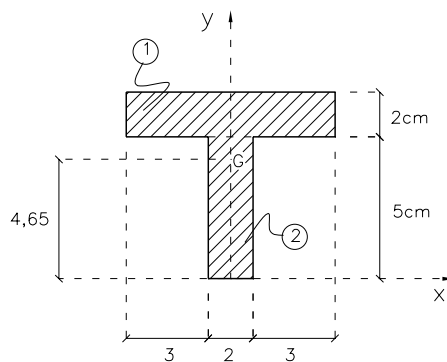


Figura D.6: Perfil T.

Da Figura D.6, vem que

$$A = (8)(2) + (2)(5) = 26\text{cm}^2,$$

$$M_{s_x} = A_1d_1 + A_2d_2 = (8)(2)(6) + (2)(5)(2,5) = 121\text{cm}^3.$$

Portanto,

$$y_G = \frac{M_{s_x}}{A} = \frac{121}{26} = 4,65\text{cm}.$$

□

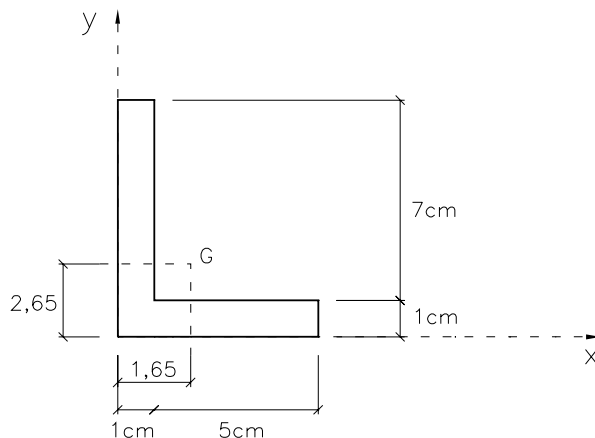


Figura D.7: Perfil L.

**Exemplo D.5** Determinar o centro de gravidade para a superfície da Figura D.7.

Neste caso, os eixos  $x$  e  $y$  do sistema de referência adotado não são eixos de simetria. Deve-se, então, calcular as duas coordenadas  $(x_G, y_G)$  do centro de gravidade. Novamente, a área e os momentos estáticos são dados pela soma das respectivas áreas e dos momentos estáticos dos retângulos 1 e 2 ilustrados na Figura D.7.

Para o cálculo de  $x_G$ , emprega-se (D.11), sendo

$$A = A_1 + A_2 = (1)(8) + (5)(1) = 13\text{cm}^2,$$

$$M_{s_y} = (M_{s_y})_1 + (M_{s_y})_2 = (1)(8)(0,5) + (5)(1)(3,5) = 21,5\text{cm}^3.$$

Logo,

$$x_G = \frac{M_{s_y}}{A} = \frac{21,5}{13} = 1,65\text{cm}.$$

De forma análoga para  $y_G$ , tem-se que

$$M_{s_x} = (M_{s_x})_1 + (M_{s_x})_2 = (1)(8)(4) + (1)(5)(0,5) = 34,5\text{cm}^3.$$

Portanto,

$$y_G = \frac{M_{s_x}}{A} = \frac{34,5}{13} = 2,65\text{cm}.$$

□

**Exemplo D.6** Determinar o centro de gravidade da superfície ilustrada na Figura D.8.

Adotando o sistema de referência  $xy$  da Figura D.8, deve-se calcular as duas coordenadas  $(x_G, y_G)$  do centro de gravidade. Para o cálculo de  $x_G$ , observa-se que

$$A = A_1 + A_2 + A_3 = (5)(1) + (10)(1) + (5)(1) = 20\text{cm}^2,$$

$$M_{s_y} = (M_{s_y})_1 + (M_{s_y})_2 + (M_{s_y})_3 = (1)(5)(0,5) + (1)(10)(6) + (1)(5)(11,5) = 120\text{cm}^3.$$

Logo,

$$x_G = \frac{M_{s_y}}{A} = \frac{120}{20} = 6\text{cm}.$$

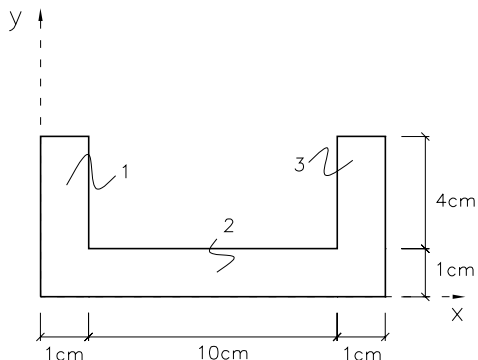


Figura D.8: Perfil U.

De forma análoga para o cálculo de  $y_G$ , vem que

$$M_{s_x} = (M_{s_x})_1 + (M_{s_x})_2 + (M_{s_x})_3 = (1)(5)(2,5) + (1)(10)(0,5) + (1)(5)(2,5) = 30\text{cm}^3.$$

Portanto,

$$y_G = \frac{M_{s_x}}{A} = \frac{30}{20} = 1,5\text{cm}.$$

□

### D.3 Momento de Inércia

Considere uma superfície plana de área  $A$  e dois eixos ortogonais  $x$  e  $y$  de seu plano. Seja  $dA$  um elemento de superfície genericamente posicionado com relação ao sistema de referência conforme ilustrado na Figura D.1.

Define-se o momento de inércia de um elemento de superfície de área  $dA$  com relação aos eixos  $x$  e  $y$ , respectivamente, por

$$dI_x = y^2 dA, \quad (\text{D.13})$$

$$dI_y = x^2 dA. \quad (\text{D.14})$$

A partir daí, o momento de inércia de área com relação aos eixos  $x$  e  $y$  são dados pelas seguintes integrais

$$I_x = \int_A y^2 dA, \quad (\text{D.15})$$

$$I_y = \int_A x^2 dA. \quad (\text{D.16})$$

**Exemplo D.7** Determinar os momentos de inércia  $I_{x_G}$  e  $I_{y_G}$  em relação aos eixos que passam pelo centro de gravidade do retângulo da Figura D.2(b).

Para o cálculo de  $I_{x_G}$  emprega-se (D.15) e o elemento de área  $dA = bdy$  mostrado na Figura D.2(a). Logo,

$$I_{x_G} = \int_A y^2 dA = b \int_{-\frac{h}{2}}^{+\frac{h}{2}} y^2 dy = \frac{b}{3} y^3 \Big|_{-\frac{h}{2}}^{+\frac{h}{2}} = \frac{b}{3} \left[ \left(\frac{h}{2}\right)^3 - \left(-\frac{h}{2}\right)^3 \right] = \frac{bh^3}{12}. \quad (\text{D.17})$$

Analogamente, utiliza-se (D.16) para determinar  $I_{y_G}$  e o elemento de área  $dA = hdx$  ilustrado na Figura D.2(a). Portanto,

$$I_{y_G} = \int_A x^2 dA = h \int_{-\frac{b}{2}}^{+\frac{b}{2}} x^2 dx = \frac{h}{3} x^3 \Big|_{-\frac{b}{2}}^{+\frac{b}{2}} = \frac{h}{3} \left[ \left(\frac{b}{2}\right)^3 - \left(-\frac{b}{2}\right)^3 \right] = \frac{hb^3}{12}. \quad (\text{D.18})$$

A dimensão que vai ao cubo é sempre aquela cortada pelo eixo em relação ao qual está se calculando o momento de inércia do retângulo.

□

### D.3.1 Teorema dos Eixos Paralelos

O teorema dos eixos paralelos ou de Steiner é o seguinte: *o momento de inércia de uma superfície plana de área  $A$  com relação a um eixo qualquer de seu plano é igual ao momento de inércia da superfície com relação ao eixo que passa pelo seu centro de gravidade e é paralelo ao eixo anterior mais o produto da área  $A$  da superfície pela distância entre os eixos ao quadrado.* Tomando-se a superfície ilustrada na Figura D.9, o momento de inércia em relação ao eixo  $r$  é dado pela soma do momento de inércia em relação ao eixo  $r_G$ , que passa pelo CG da superfície e é paralelo a  $r$ , mais o produto da área  $A$  pelo quadrado da distância entre os eixos  $r$  e  $r_G$ . Logo,

$$I_r = I_{r_G} + Ad_r^2.$$

Analogamente, para o eixo  $s$ , tem-se que

$$I_s = I_{s_G} + Ad_s^2.$$

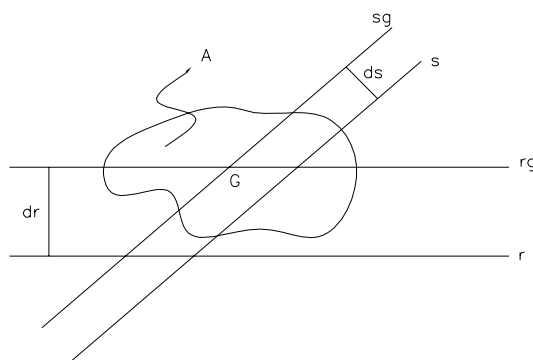


Figura D.9: Teorema dos eixos paralelos.

**Exemplo D.8** Determinar os momentos de inércia  $I_{x_G}$  e  $I_{y_G}$  em relação aos eixos que passam pelo centro de gravidade do perfil  $T$  da Figura D.10(a).

De forma análoga aos momentos estáticos, os momentos de inércia da seção são dados pelas somas dos respectivos momentos de inércias dos retângulos 1 e 2 ilustrados na Figura D.10(a).

Logo, no cálculo de  $I_{x_G}$  vem que

$$I_{x_G} = (I_{x_G})_1 + (I_{x_G})_2.$$

Para calcular  $(I_{x_G})_1$  e  $(I_{x_G})_2$ , emprega-se o teorema dos eixos paralelos, ou seja,

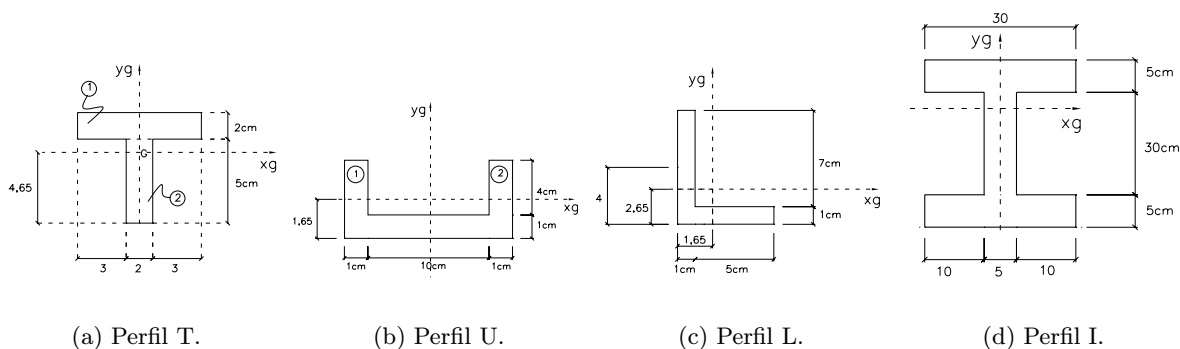


Figura D.10: Cálculo de momento de inércia.

$$(I_{x_G})_1 = \frac{(8)(2)^3}{12} + (8)(2)(6 - 4,65)^2 = 34,5 \text{ cm}^4,$$

$$(I_{x_G})_2 = \frac{(2)(5)^3}{12} + (5)(2)(4,65 - 2,5)^2 = 67,1 \text{ cm}^4.$$

Logo,

$$I_{x_G} = 34,5 + 67,1 = 101,6 \text{ cm}^4$$

Para o cálculo de  $I_{y_G}$ , observa-se que

$$I_{y_G} = (I_{y_G})_1 + (I_{y_G})_2 = \frac{(8)^3(2)}{12} + \frac{(2)^3(5)}{12} = 85,3 + 3,3 = 88,6 \text{ cm}^4.$$

□

**Exemplo D.9** Determinar os momentos de inércia  $I_{x_G}$  e  $I_{y_G}$  em relação aos eixos que passam pelo centro de gravidade da superfície da Figura D.10(b).

No caso de  $I_{x_G}$ , verifica-se que

$$I_{x_G} = (I_{x_G})_1 + (I_{x_G})_2 + (I_{x_G})_3.$$

Os momentos de inércia de cada um dos 3 retângulos são calculados utilizando-se o teorema dos eixos paralelos, ou seja,

$$(I_{x_G})_1 = \frac{(5)^3(1)}{12} + (5)(1)(2,5 - 1,5)^2 = 15,4 \text{ cm}^4,$$

$$(I_{x_G})_2 = \frac{(5)^3(1)}{12} + (5)(1)(2,5 - 1,5)^2 = 15,4 \text{ cm}^4,$$

$$(I_{x_G})_3 = \frac{(1)^3(10)}{12} + (10)(1)(1,5 - 0,5)^2 = 10,8 \text{ cm}^4.$$

Logo,

$$I_{x_G} = (I_{x_G})_1 + (I_{x_G})_2 + (I_{x_G})_3 = 41,6 \text{ cm}^4.$$

Por sua vez,  $I_{y_G}$  é dado por

$$I_{y_G} = (I_{y_G})_1 + (I_{y_G})_2 + (I_{y_G})_3.$$

Utilizando o teorema dos eixos paralelos

$$(I_{y_G})_1 = \frac{(1)^3(5)}{12} + (1)(5)(6 - 0,5)^2 = 151,7\text{cm}^4,$$

$$(I_{y_G})_2 = \frac{(1)^3(5)}{12} + (1)(5)(6 - 0,5)^2 = 151,7\text{cm}^4,$$

$$(I_{y_G})_3 = \frac{(10)^3(1)}{12} + (10)(1)(0,65 - 0,5)^2 = 83,5\text{cm}^4.$$

Logo,

$$I_{y_G} = (I_{y_G})_1 + (I_{y_G})_2 + (I_{y_G})_3 = 386,9\text{cm}^4.$$

□

**Exemplo D.10** Determinar os momentos de inércia  $I_{x_G}$  e  $I_{y_G}$  em relação aos eixos que passam pelo centro de gravidade da superfície da Figura D.10(c).

De forma análoga, aos exemplos anteriores, tem-se para  $I_{x_G}$

$$I_{x_G} = (I_{x_G})_1 + (I_{x_G})_2,$$

sendo

$$(I_{x_G})_1 = \frac{(8)^3(1)}{12} + (1)(8)(4 - 2,65)^2 = 57,3\text{cm}^4,$$

$$(I_{x_G})_2 = \frac{(1)^3(5)}{12} + (5)(1)(2,65 - 0,5)^2 = 23,5\text{cm}^4.$$

Logo,

$$I_{x_G} = 80,8\text{cm}^4.$$

Analogamente, para  $I_{y_G}$

$$I_{y_G} = (I_{y_G})_1 + (I_{y_G})_2,$$

sendo

$$(I_{y_G})_1 = \frac{(1)^3(8)}{12} + (1)(8)(1,65 - 0,5)^2 = 11,3\text{cm}^4,$$

$$(I_{y_G})_2 = \frac{(5)^3(1)}{12} + (1)(5)(3,5 - 1,65)^2 = 27,5\text{cm}^4.$$

Portanto,

$$I_{y_G} = 38,8\text{cm}^4.$$

□

**Exemplo D.11** Determinar  $I_{x_G}$  e  $I_{y_G}$  para a superfície da Figura D.10(d).

Inicialmente, calculam-se as coordenadas do centro de gravidade. Logo,

$$y_G = \frac{M_{s_x}}{A} = \frac{(M_{s_x})_1 + (M_{s_x})_2 + (M_{s_x})_3}{A_1 + A_2 + A_3}.$$

Substituindo os valores vem que

$$y_G = \frac{(5)(25)(2,5) + (5)(30)(20) + (5)(30)(37,5)}{(5)(25) + (5)(30) + (5)(30)} = \frac{38937,5}{425} = 21,03\text{cm}.$$

A coordenada  $x_G$  é zero, pois a seção é simétrica em relação ao eixo vertical adotado.

O momento de inércia  $I_{x_G}$  é dado por

$$I_{x_G} = (I_{x_G})_1 + (I_{x_G})_2 + (I_{x_G})_3.$$

Pelo teorema dos eixos paralelos

$$(I_{x_G})_1 = \frac{(5)^3(25)}{12} + (5)(25)(21,03 - 2,5)^2 = 43180,53\text{cm}^4,$$

$$(I_{x_G})_2 = \frac{(30)^3(5)}{12} + (5)(30)(21,03 - 20)^2 = 11409,14\text{cm}^4,$$

$$(I_{x_G})_3 = \frac{(30)(5)^3}{12} + (3)(50)(37,5 - 21,03)^2 = 41001,63\text{cm}^4.$$

Logo,

$$I_{x_G} = 95591,31\text{cm}^4.$$

Finalmente, o momento de inércia  $I_{y_G}$  é dado por

$$I_{y_G} = (I_{y_G})_1 + (I_{y_G})_2 + (I_{y_G})_3 = \frac{(25)^3(5)}{12} + \frac{(5)^3(20)}{12} + \frac{(25)^3(5)}{12} = 18072,92\text{cm}^4.$$

□